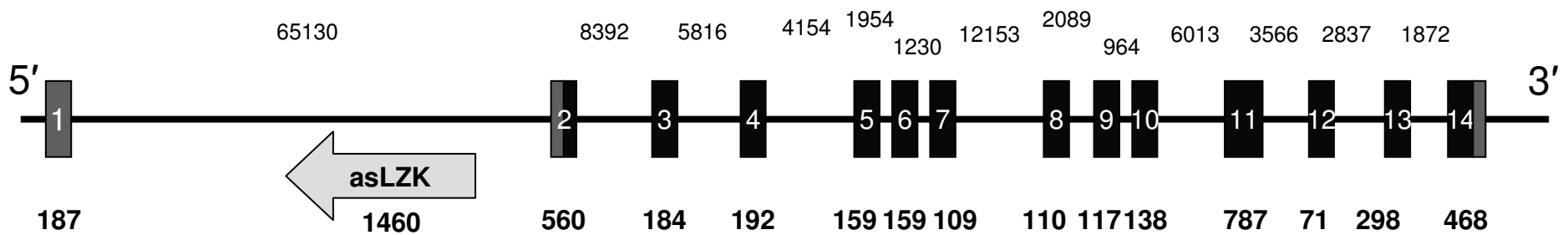


ESTs to *MAP3K13*: 186 (32,3 % of ESTs are tumor-specific)



ESTs to *asLZK*: 454 (82,7 % of ESTs are tumor-specific)

Fig.1

5'-end

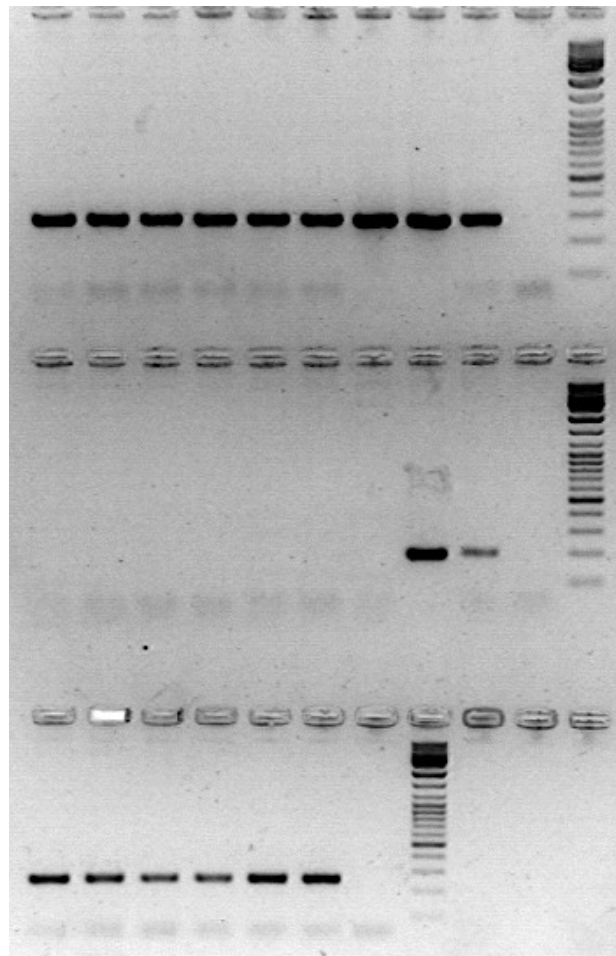
```
RPL4 CAGAGTAATTCCAGGGATGTT // TCCTCATTATAGATGATGCACGGGCC // TTGA
LOC158345 .....G..... // ..... ^ ..... // .....
asLZK ..... // ..... TA ..... // .C.
22q13 ...A...T...A... // .T...G...C...T... // .TG
LOC391135 ..... // .....T...T // .....
LOC646688 ..... // ..... // .....
14q11.2 .T..... // .....C...G-C... // .C.
2q33.1 .....C.C..... // .....C.GCA.....TAT. // .....
```

3'-end

```
RPL4 CTACCAAAGGAAGTTCAGGAAC // ATACGATGACCTTTAGACATG
LOC158345 ..... // ..... ^ .....
asLZK AA ..... // .....
22q13 .C...AA..... // ...T...G.....
LOC391135 ..... // ...T...T...
LOC646688 .....A..... // ...T...T...
14q11.2 .....G. // .....C...G.
2q33.1 .C.G..... // ...A.....
```

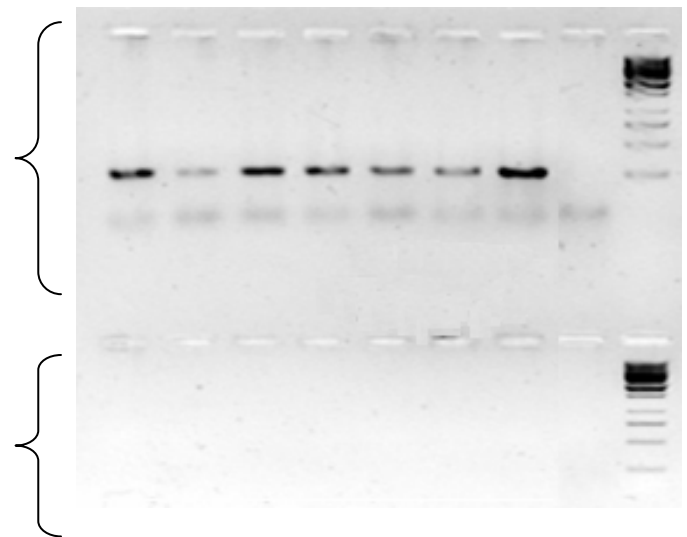
Fig.2

1 2 3 4 5 6 7 8 9 10 M

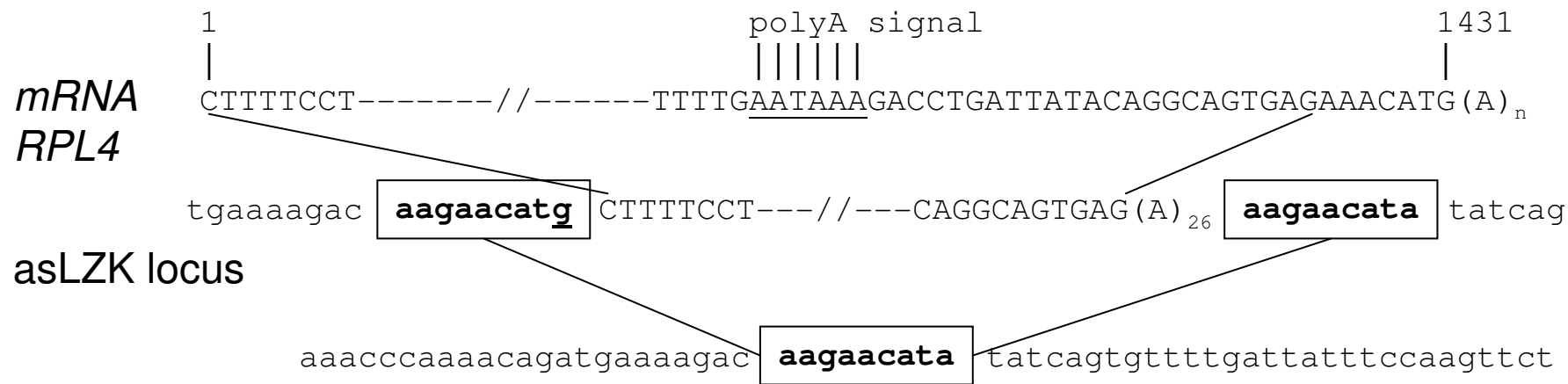


3A

1 2 3 4 5 6 7 8 M

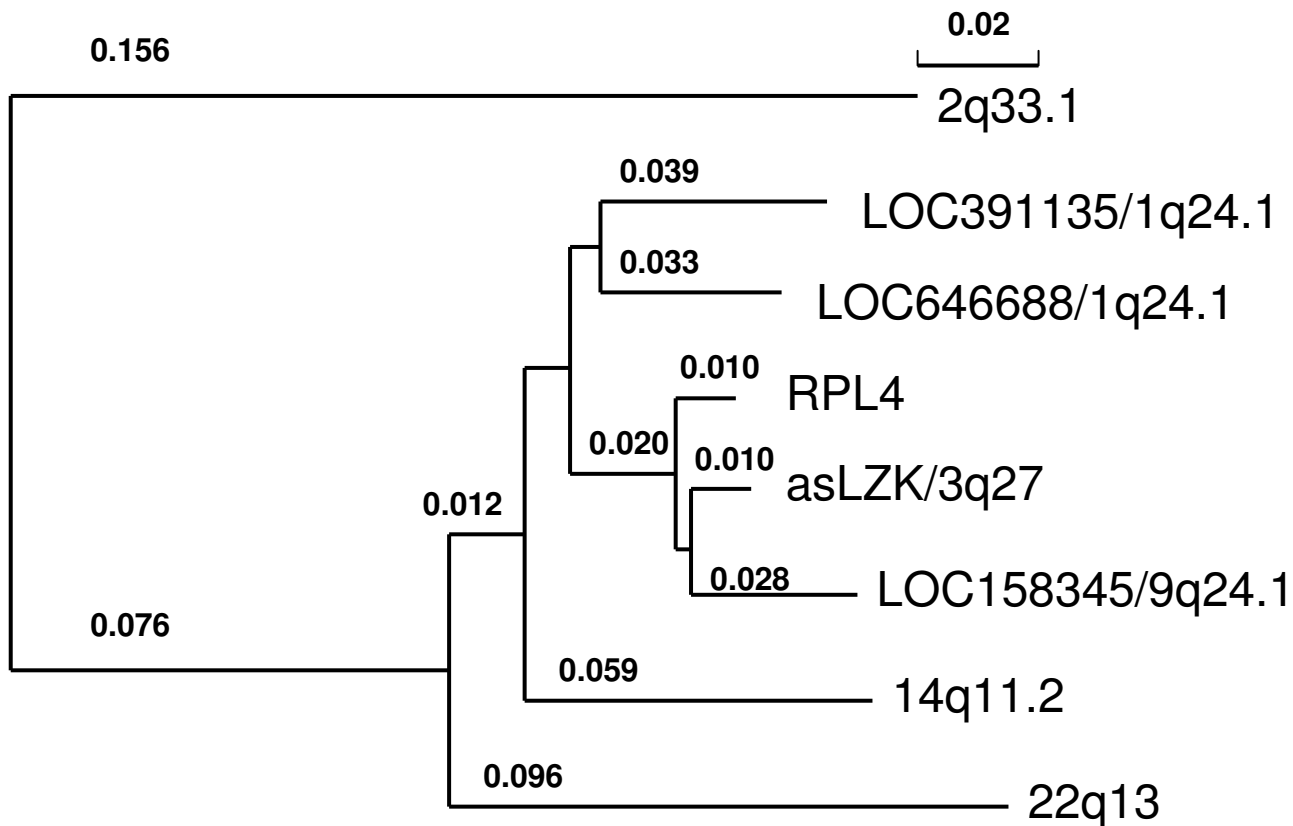


3B



Genomic site of ψ RPL4 insertion

4A



4B